

水利水电科学研究院

科学研究论文集

第 4 集

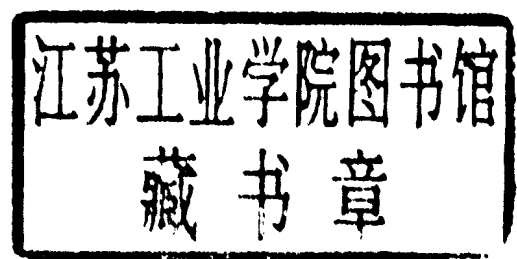
(灌溉、排水)

中国工业出版社

水利水电科学研究院
科学研究生论文集

第 4 集

(灌溉、排水)



中国工业出版社

本书共有論文四篇，包括平原洼澇易碱地区除涝技术措施、干砌卵石渠道的設計和施工、排水网控制地段地下水运动的分析、在蒸发条件下灌排渠道間地下水不稳定滲流計算等内容。

所介紹的研究成果，对于从事灌溉、排水的科研、教学和生产工作的同志，都有参考价值。

水利水电科学研究院
科学 研究 論 文 集
第 4 集
(灌溉、排水)

*
水利电力部办公厅图书編輯部編輯(北京阜外月坛南营房)

中国工业出版社出版(北京佟麟閣路丙10号)

北京市书刊出版业营业許可証出字第110号

中国工业出版社第一印刷厂印刷

新华书店北京发行所发行·各地新华书店經售

*
开本787×1092¹/₁₆ · 印张7¹/₄ · 字数140,000

1965年6月北京第一版 · 1965年6月北京第一次印刷

印数0001—2,650 · 定价(科五)0.80元

*
统一书号：15165 · 3829(水电-500)

目 录

- 对魯西南、豫北平原部分洼澇易碱地区除澇技术措施中
几个問題的初步探討 李大爽 郑哲仁 (1)
- 干砌卵石渠道設計和施工中若干技术問題的探討 金永堂 (33)
- 排水网控制地段地下水稳定运动与不稳定运动
的分析 吳允芳 郭东屏 陈桂琴 (57)
- 在蒸发条件下灌排渠道間地下水不稳定滲流計算 郭东屏 (81)

对魯西南、豫北平原部分洼澇易 碱地区除澇技术措施中几个問 題的初步探討*

李大爽 郑哲仁

【提 要】本文初步分析了华北平原部分洼澇易碱地区，关于除澇問題中土壤蓄水能力的計算方法，小面积平原排水地区暴雨徑流关系及最大排水模數的計算，以及对除澇排水工程的規劃設計中几个問題的探討意見，可作为水利工作者的参考材料。

前 言

魯西南和豫北等平原地区历来涝灾就很严重，同时往往又存在着土地盐碱化的危害。实践証明，排水是消除內涝和防治盐碱化的一項重要措施，并且在华北平原不少地区当前必須首先解决內涝的排水問題。在解决农田除澇排水任务时，当前存在有三个重要問題：1) 对于平原地区小面积暴雨徑流关系和最大排水模數的計算，由于过去的觀測資料不多，还缺乏較深入的研究，而在生产实践中又要求予以解决；2) 在“易澇易碱”并且“易旱”的平原地区，排水系統如何正确的规划布局，在滿足近期排澇要求的条件下，又能結合将来发展灌溉和防治土地盐碱化的要求；3) 土壤蓄水能力的大小，有人认为土壤蓄水对平原地区除澇的作用很大，有人认为作用不显著，由于資料不足，一时也难以作出定論。因此，为了試圖解决上述生产中存在的問題，近几年来我們在下列地区作了初步觀測調查工作。

1) 1962年在魯西南太行堤河流域上游地区的曹县設置試點，对小面积暴雨徑流关系，土壤蓄水及农田排水工程的除澇作用，进行了定点觀測，在太行堤流域下游的城武县等典型地区作了調查工作，并收集了菏泽专区其他地区的有关資料；

2) 1960~1961年在豫北南乐县永順沟作了小面积暴雨徑流及地下水位的測定，并在部分地区作了調查；

此外，我們引用了我院1958年在豫北一个灌区的暴雨徑流觀測資料、河南省水利厅1962年在豫东淤泥河流域殷公渠的測流資料及淮委水文測驗处1956年在皖北青沟地

* 參加本報告編寫的還有喬玉成、黃婉珍、任光照同志。參加本專題試驗觀測的還有王鋼生、張黎明同志。魏永純、巫一清同志曾對野外觀測工作，予以協助。

区的測流資料。

从上述地区的土壤、水文地质、气候等特点来看，魯西南、豫北、豫东等地基本相同，均有旱、涝、碱的危害；皖北青沟与上述各地区有一定的差別，但均有平原內涝問題存在。現以魯西南測定成果为基础，結合其他地区的資料，对上述部分問題作了初步探討。

一、土壤蓄水能力及几項影响因素

暴雨径流关系式

$$R = P - I,$$

式中 R ——径流量；

P ——降雨量；

I ——总损失量。

I 的确定和前期土壤湿度、地下水埋深、土壤质地、地形及田面工程条件等因素有密切的关系。在給定降雨量条件下，径流量依损失量而变化， I 值的計算方法一般可分为相关法和损失扣除法两大类型。前者多以前期影响雨量(P_a)或地下水位(h_1)为参数。求暴雨径流关系，以($P + P_a$)~ R 相关法采用最广泛，这一方法，需要較多的測流資料进行統計分析，在径流觀測資料不足的条件下，采用比較困难。后者是基于直接計算损失(包括土壤蓄水)的方法，常用的有两种：

一种是根据入渗理論，即

$$I = I_{max} - P_a + f_c t_c,$$

式中 I_{max} ——最大初損；

f_c ——稳渗率；

t_c ——稳渗历时；

$I_{max} - P_a$ ——稳渗前的损失量。

这一方法沒有把地下水埋深联系起来，在地下水埋深較大的条件下比較适宜。

另一种是：根据水量平衡原理，即：

$$R = P - I.$$

$$I = I_{土} + E_{陆} + A_{植} + D_{洼} + R_{地},$$

式中 $I_{土}$ ——土壤蓄水；

$E_{陆}$ ——陆面蒸发；

$A_{植}$ ——植物截流；

$D_{洼}$ ——洼蓄量；

$R_{地}$ ——地下径流差值。

在平衡式中主要影响因素是土壤蓄水能力($I_{土}$)的变化。关于土壤蓄水，过去我們曾提出过一些数据，但多系調查訪問得来，或是采用土壤給水度的經驗数据进行

粗略計算而提出的。实际上，土壤蓄水涉及到土壤质地、土壤结构及层次，土壤湿度、地下水埋深等复杂因素，目前在理論上还没有能够給予满意的解答。其次陆面蒸發量等数值如何确定，也是一个值得研究的問題。

1962年我們在山东曹县城关除澇径流觀測区約0.75平方公里的面积上，布設了4个土壤水分觀測点（ A_1 、 A_3 、 A_4 、 B_2 ）。从6月下旬至9月上旬，对土壤含水率及地下水位进行了較系統的觀測，采用烘干法測定土壤含水率，一般每隔2~5天觀測一次。取土层次，1米以上每20厘米一层，1米以下每30厘米一层，每次取土到地下水位为止。觀測区内土质較为均一，各点土壤剖面多以砂壤、輕壤为主（土质剖面見图1），仅 A_1 、 B_2 点夹有薄层粘土。从地形条件来看， A_1 、 B_2 較低洼， A_3 較高， A_4 居中，四点可代表全区概貌。

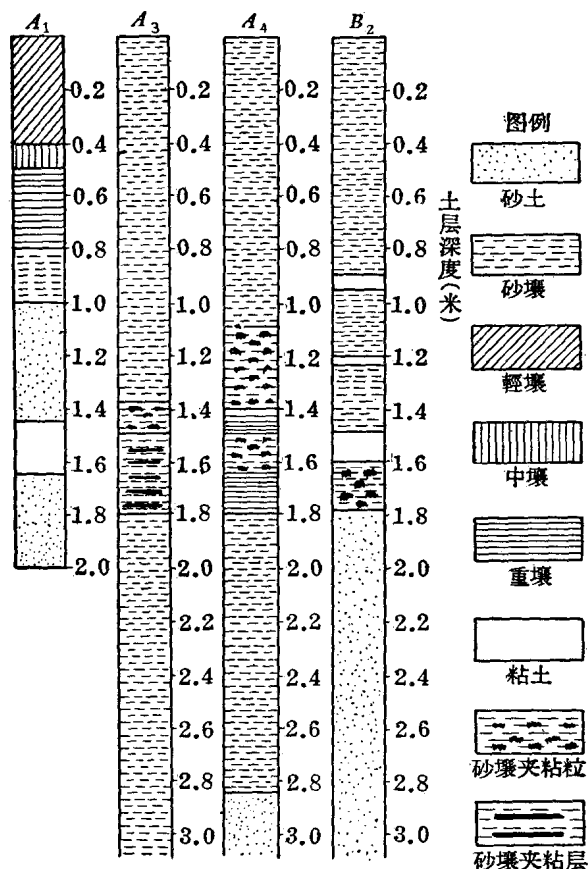


图 1 定位点土壤质地剖面图

由于有关地下径流量資料，未进行实际觀測，土壤物理性质（容重、比重）亦非現場实測，而是采用类似地区資料。这些缺陷对資料分析都有一定影响。

根据已得資料对土壤水分的分布特点，蒸发問題以及土壤蓄水能力和地下水埋深

的关系等，进行如下分析：

(一) 土壤水分消耗問題

$$E_{\text{陆}} = (w_1 - w_2) + (P - R) - R_{\text{地}},$$

式中 w_1 ——前期土壤含水量；

w_2 ——后期土壤含水量，均以毫米計，其余符号同前。

$E_{\text{陆}}$ 包括作物蒸騰、土壤蒸发、潛水蒸发。假定地下水來去徑流量相等，即地下徑流差 $R_{\text{地}}$ 為零，上式可寫成：

$$E_{\text{陆}} = (w_1 - w_2) + (P - R).$$

利用上式可以計算不同時間的陸面蒸發。表1為9個測點的各項平均值。

表 1
单位：毫米

起止时段 (月/日)	6/28 ~7/9	7/9 ~7/18	7/20 ~7/24	7/28 ~7/30	7/30 ~8/2	8/2 ~8/9	8/18 ~8/20	8/23 ~8/31	8/31 ~9/11
$w_1 - w_2$	14.2	23.7	-44.8	8.7	12.5	-3.70	11.6	38.8	57.9
P	21.8	0	57.6	0	3.2	58.5	0	30.8	0
R	0	0	0	0	0	0	0	2.0	0
$E_{\text{陆}}$	36.0	23.7	12.8	8.7	15.7	21.5	11.6	67.6	57.9

从理論上讲，对陸面蒸發的影响因素有气象、土壤湿度、地下水位、土壤质地、植被等，如以水面蒸發 $E_{\text{水}}$ 代表气象因素的綜合影响指标，且假設在其他条件相同的情况下， $E_{\text{陆}}$ 与 $E_{\text{水}}$ 成正比关系，則在某一地区相同土质条件下， $\frac{E_{\text{陆}}}{E_{\text{水}}} = f(w, H)$. 式中 H 代表地下水埋深。

潛水蒸發主要隨地下水埋深变化而变化，而作物蒸騰与土壤蒸發，除隨地下水埋深变化外，还隨土壤湿度而变化。但在汛期地下水位較高和降雨頻繁的条件下，土壤湿度的变幅往往較小，根据我們的觀測資料統計得全剖面平均飽和度都在75~90%之間，因此可簡化为 $\frac{E_{\text{陆}}}{E_{\text{水}}} = f(H)$ 。

根据觀測資料，这一地区汛期 $\frac{E_{\text{陆}}}{E_{\text{水}}}$ 和地下水埋深的关系見表2。

表 2

起止时段 (月/日)	6/28 ~7/9	7/9~13 7/20~24	7/28~30 ~8/2	7/30 ~8/2	8/2~9 8/18~20	8/18~20 8/23~31	8/23~31 ~9/11	8/31 ~9/11	
平均地下水埋深 H (米)	3.00	2.97	2.54	1.78	1.50	1.63	0.77	0.72	1.21
水面蒸發量 $E_{\text{水}}$ (毫米)	109.2	72.5	29.5	11.7	19.9	36.3	5.3	35.9	63.6
土壤蒸發量 $E_{\text{陆}}$ (毫米)	36.0	23.7	12.8	8.7	15.7	21.5	11.6	67.6	57.9
比值 $\frac{E_{\text{陆}}}{E_{\text{水}}}$	0.33	0.33	0.43	0.74	0.79	0.59	2.19	1.88	0.91

以横坐标代表地下水埋深，纵坐标代表 $\frac{E_{\text{陆}}}{E_{\text{水}}}$ ，将上表数值点繪在方格紙上， $\frac{E_{\text{陆}}}{E_{\text{水}}} = f(H)$ 呈一双曲線（見图2）。利用最小二乘法求得經驗公式为：

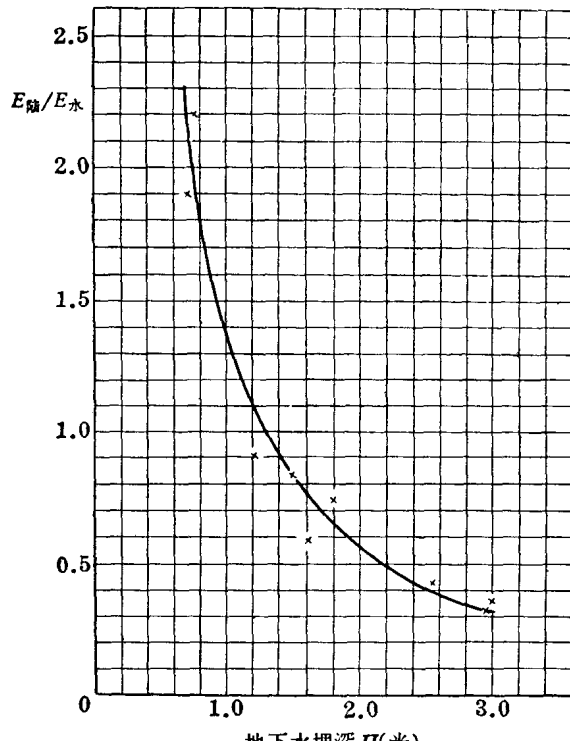


图 2 土壤蒸发与地下水埋深的关系

$$\frac{E_{\text{陆}}}{E_{\text{水}}} = 1.32H^{-1.27}, \quad (1)$$

从曲綫可見， H 愈大， $\frac{E_{\text{陆}}}{E_{\text{水}}}$ 值愈小； H 愈小， $\frac{E_{\text{陆}}}{E_{\text{水}}}$ 值愈大。这說明了陆面蒸发量隨着地下水埋深減小而增加。但當 $H < 1$ 米时， $\frac{E_{\text{陆}}}{E_{\text{水}}}$ 值过分增大，其原因可能是觀測區內有二条1.2~1.5米深度的农排，在地下水埋深小于1米时，有一定數量的地下水流入排水沟，故所求得的陆面蒸发数值偏大。排走的地下水量（地下径流）應該予以扣除，但我們還沒有系統的掌握這方面的資料。从公式看，當 $H \rightarrow 0$ 时， $\frac{E_{\text{陆}}}{E_{\text{水}}} \rightarrow \infty$ ，不符合实际情况，

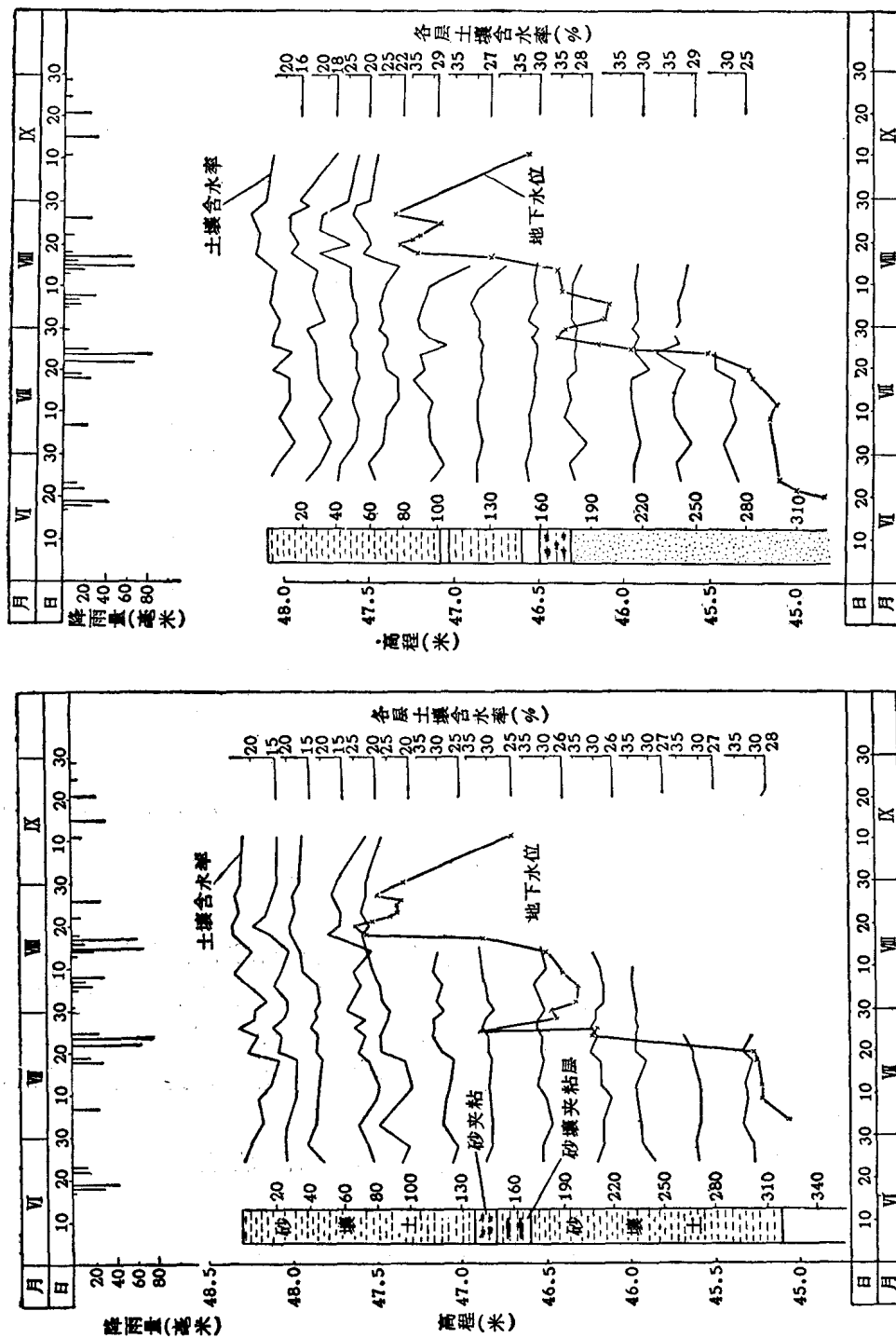
因此公式的应用有一定的局限性，还須今后繼續补充提高。

(二) 土壤湿度的垂直分布

土壤湿度的大小与降雨入渗、陆面蒸发和地下水的补給有关。汛期土壤湿度增大及地下水位上升主要受降雨入渗的影响。从汛期各层土壤水分和地下水位变化过程綫（見图3与4），可以清楚地看出这一点。各层土壤水分因降雨入渗而增加，随蒸发而消退。特別是表层土壤水分的消长更为明显。随着土层深度的增加，变化幅度逐渐减小。深层土壤水分主要决定于地下水位和土壤毛細管性能。

在不受外区地下径流补給的条件下，地下水位的升高幅度随降雨入渗的多寡而有大有小，当降雨入渗水量，超过非饱和层土壤所能吸附的水量时，即产生重力水，形成深层滲漏，补給地下水，使地下水位上升。地下水位的回落速度，则取决于地下水出流条件和潛水蒸发强度。

为了进一步了解土壤湿度垂直分布的特点和地下水埋深的关系，我們选繪了 A_3 点在不同地下水埋深条件下，土壤水分的垂直剖面图（見图5，6与7）。从这些图中可以看出，不同地下水埋深条件下的土壤湿度情况及雨后土壤水分增減过程。

图 3 汛期各层土壤水分和地下水位变化过程线(A₃点资料)图 4 汛期各层土壤水分和地下水位变化过程线(B₂点资料)

表层土壤水分受气象因素影响較大，随降雨入渗土壤水分增加，雨后因陆面蒸发消耗和重力水的下渗，水分逐渐减少。在地下水面上有效毛細管水上升高度以内，土壤水分则受地下水的调节，在蒸发耗损条件下，毛管影响范围的水分消耗量从地下水得到弥补。因此，当地下水埋深大于毛管有效影响范围的情况下，在毛管影响范围内，土壤水分的变化是較小的，基本可視為稳定段。

在这一稳定段，因受毛管作用土壤湿度从下到上逐渐减小；接近地下水水面处土壤湿度为一定值（等于或接近饱和含水量）。毛管有效影响高度的上端土壤湿度也較稳定，根据实測資料，其饱和度为75%左右。当地下水埋深小于毛管有效影响范围的情况下，表土一定深度內受气象因素和毛管补給的双重影响，此时，稳定段的高度随地下水埋深而变化。根据 A_3 点不同时期的消退过程，得出在地下水埋深为3.0~3.25米时，表层1.1米范围内土壤水分主要受气象因素影响，而1.1米以下受毛管影响，土壤水分稳定少变。在地下水埋深为1.9~2.0米时，表层0.8米的土层內主要受气象因素影响，以下主要受毛管影响。

以上說明土壤湿度和地下水埋深的关系。土壤湿度垂直分布的这一特点，有助于我們研究汛期土壤蓄水潜力的大小。

（三）土壤蓄水能力的估算

从上述土壤水分垂直分布的特征可知，整个非饱和层的含水率，除了受气象因素的影响外，与地下水位有密切的关系，因此，土壤渗透雨水的能力也必然与地下水位有密切关系。

現在先从最简单的情况，即沒有前期降雨影响的条件下，来探求不同地下水位的土壤蓄水能力。在試区內的 A_3 、 A_4 两个定位点的土质較均一，从地表到3米深处皆为砂壤土，仅在1米以下夹有薄层粘土或粘粒成分較多。我們在該两点的觀測資料中，选取了几次长期无雨情况下的土壤含水率資料，作为計算依据，按公式 $I_{\text{土}} = \Sigma (1 - S_i) w_{\max} \cdot h_i$ 計算，得出各种地下水位条件下的土壤蓄水能力，如表3所示。

表 3

定 位 点	A_3	A_4	A_4	A_3	A_3	A_4	A_4
日期(月、日)	7.18	6.28	7.3	8.2	8.14	8.2	8.30
地下水埋深(H)(米)	3.06	2.80	2.59	1.99	1.80	0.90	0.59
土壤蓄水能力 $I_{\text{土}}$ (毫米)	309	260	276	198	160	100	47

式中 $I_{\text{土}}$ ——整个非饱和土层蓄水能力(毫米)；

h_i ——分层土壤厚度(毫米)，从地面至地下水水面，按采土层次分层；

S_i ——各土层饱和度(見表4)；

w_{\max} ——饱和含水率(体积比)——在数值上近似等于土壤孔隙率(見表5)。

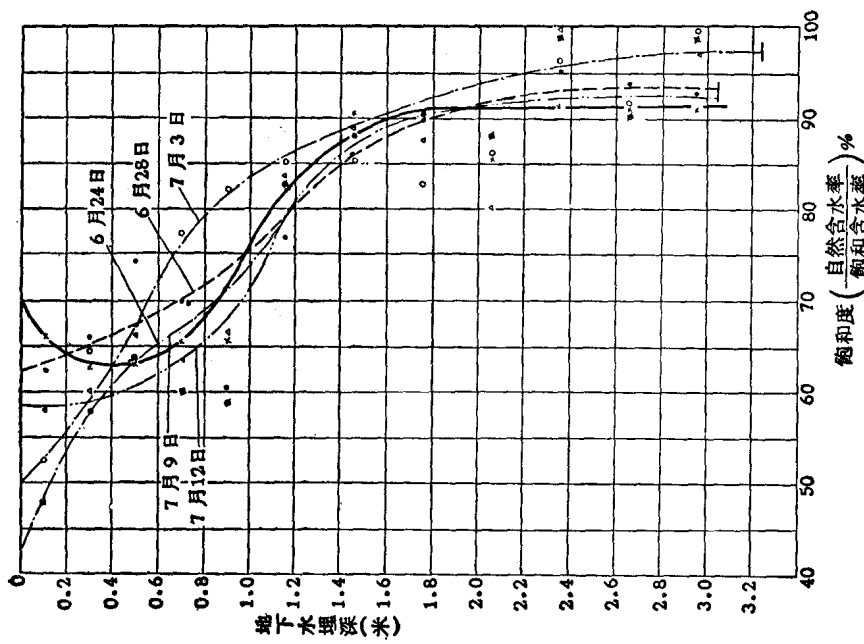


图 5 不同地下水埋深条件下土壤水分消退过程线
(A_3 点资料, $H \geq 3.0$ 米)

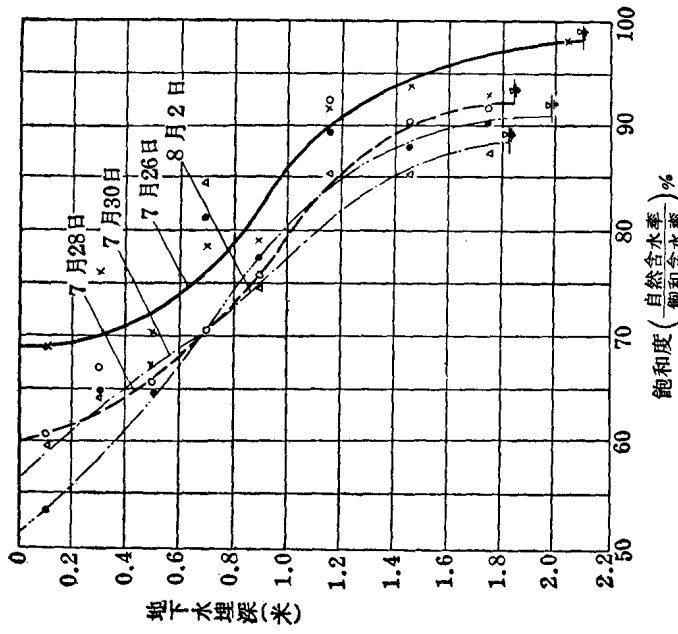


图 6 不同地下水埋深条件下土壤水分消退过程线
(A_3 点资料, $H = 1.8 \sim 2.1$ 米)

將表 3 中的數字點繪在方格紙上(圖 8)， $I_{\pm} = f(H)$ 基本上接近直線關係： $I_{\pm} = 100H$ ，也就是說，在曹縣城關試驗區砂壤土地區，整個非飽和層土壤的平均蓄水度約為土體的 10%。它與過去我們在相同土質地區的調查資料是接近的。

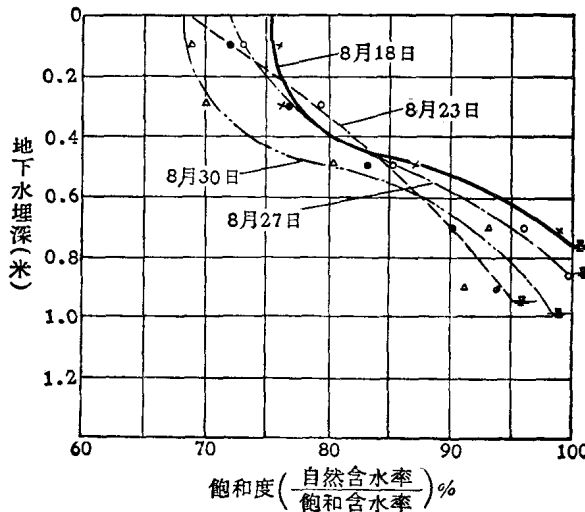


圖 7 不同地下水埋深條件下土壤水分消退過程線
(A_3 點資料, $H=0.7 \sim 1.0$ 米)

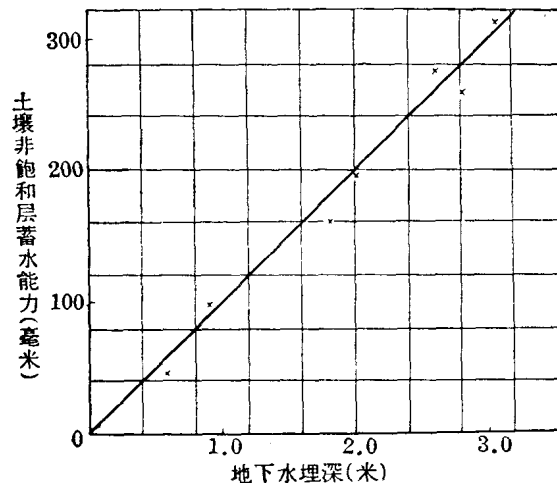


圖 8 不同地下水位條件下的土壤蓄水能力

表 4

(土层深度以厘米计)

定位点	日期 (月、日)	地下水埋深 (米)	分层土壤含水率(饱和度%)											
			0~20	20~40	40~60	60~80	80~100	100~130	130~160	160~190	190~220	220~250	250~280	280~310
<i>A₁</i>	6.24	2.55	69.7	72.4	68.0	72.4	83.9	91.5	100.0	100.0	99.4	100.0	100.0	
	28	2.85	53.4	59.8	61.7	64.3	69.6	77.5	93.0	100.0	100.0	100.0	100.0	
	7.3	3.13	45.9	56.8	57.0	57.0	73.5	79.8	89.4	94.5	100.0	98.9	98.9	99.5
	9	3.18	61.3	59.1	53.6	58.5	70.0	78.8	96.0	97.4	97.8	100.0	97.2	100.0
	13	2.56	40.6	31.2	55.5	64.3	75.8	77.5	93.6	98.3	100.0	100.0		
	17	2.60	41.5	59.0	58.3	63.7	76.0	80.8	89.3	99.3	100.0	98.3		
	20	2.42	60.0	58.1	57.9	67.5	73.4	75.9	92.5	100.0	100.0	87.0		
	24	1.46	69.7	67.7	63.5	66.7	79.8	97.0	100.0					
	30	0.89	71.6	70.4	65.6	70.5	93.0							
	8.2	1.23	59.4	67.1	62.9	69.5	80.6	99.0						
	6	140	65.6	62.2	62.4	74.2	85.0	100.0	100.0					
	9	0.69	78.2	72.5	68.6	81.0								
	14	1.16	63.5	62.1	60.9	62.0	71.0	95.7						
	23	0.47	82.4	78.5	74.0									
<i>A₃</i>	27	0.22	72.4	99.0										
	30	0.59	74.6	81.7	93.6									
	31		72.7	73.2	67.4									
	6.24	≥3.0	66.2	62.8	63.2	65.3	65.7	82.5	90.6	91.0	85.7	91.4	91.1	91.1
	28	≥3.0	62.4	66.1	74.5	69.9	60.2	76.9	85.9	89.6	100.0	95.6	94.0	93.0
	7.3	3.25	52.5	64.4	67.4	77.3	82.1	85.4	85.4	82.8	86.1	96.5	91.4	100.0
	9	3.09	57.8	60.0	66.3	63.6	65.9	83.6	88.4	87.6	79.6	100.0	91.5	97.2
	12	3.09	47.9	58.0	63.7	60.0	58.8	82.5	87.9	90.4	88.4	99.4	90.5	99.4
	18	3.06	42.1	55.1	63.1	70.0	64.5	77.9	86.5	87.2	92.4	91.5	95.6	94.4
	20	3.04	63.1	69.4	66.2	76.0	79.1	87.4	89.5	89.5	97.4	100.0	95.4	100.0
	24	2.06	53.2	65.3	61.5	70.6	79.5	93.6	90.6	89.2	91.0			
	26	2.10	68.9	76.0	70.4	78.6	79.0	92.8	94.0	93.2	98.0			
	28	1.85	60.3	67.2	65.9	70.4	75.8	92.5	90.6	92.0				
	30	1.83	59.6	64.5	67.4	84.9	74.8	85.1	85.6	87.2				
	8.2	1.99	53.6	64.8	64.6	81.5	77.5	89.5	88.0	90.5	89.5			
	6	2.00	71.2	74.2	66.3	73.6	80.6	87.4	90.0	95.8	89.7			
	9	1.91	73.5	70.1	77.8	80.1	85.1	92.6	93.0	86.8				
	14	1.80	61.7	63.5	78.5	66.7	88.4	91.8	94.8	90.2				
	18	0.74	76.0	76.5	87.0	99.1								
	20	0.69	76.5	90.5	86.6	89.1								
	23	0.95	72.1	79.5	83.4	90.1	94.0							
	8.27	0.84	73.1	76.5	85.1	96.3	100.0							
	30	0.98	69.1	70.0	80.4	93.1	91.6							
	9.11	1.61	66.5	71.5	77.5	68.1	78.1	84.5	89.6					

(續表4)

定位点	日期 (月、日)	地下水 埋深 (米)	分层土壤含水率(饱和度%)											
			0~20	20~40	40~60	60~80	80~100	100~130	130~160	160~190	190~220	220~250	250~280	280~310
<i>A₄</i>	6.24	2.83	68.0	77.5	77.5	68.1	77.5	87.3	100.0	100.0	96.6	100.0	100.0	
	28	2.80	54.3	59.5	66.0	57.1	56.9	83.9	88.0	87.0	95.5	97.3		
	7.3	2.59	30.0	50.0	59.2	68.3	57.4	82.4	95.5	91.5	95.2	97.7		
	9	3.10	50.7	46.7	56.3	60.7	52.0	86.0	90.2	92.3	89.4	100.0	100.0	100.0
	7.12	3.16	32.9	42.1	65.4	53.1	65.1	81.8	88.1	90.3	98.1	100.0	100.0	100.0
	17	3.12	25.9	40.6	57.1	53.5	52.6	90.0	93.8	93.4	96.8	100.0	100.0	100.0
	20	3.15	45.2	44.2	57.7	54.4	59.0	92.1	96.7	100.0	100.0	100.0	100.0	100.0
	24	2.80	72.2	77.4	76.0	75.6	64.4	93.1	93.6	100.0	96.5	100.0	100.0	
	30	1.44	68.6	79.6	82.9	90.0	92.4	98.1	100.0					
	8.2	0.90	67.0	72.0	78.4	83.5	92.3							
	6	1.92	61.1	64.5	79.4	86.0	90.2	96.6	98.0	100.0				
	9	0.96	68.0	76.6	88.1	96.0	87.1							
<i>B₂</i>	14	1.68	66.1	66.6	63.7	85.0	82.8	89.1	80.4	81.2				
	30	0.59	74.6	81.7	93.6									
	31		69.1	73.8	75.4	94.0	93.3	95.5						
	6.24	2.58	72.9	80.6	86.4	92.4	94.5	91.5	100.0	98.4	100.0	99.5		
	7.9	2.93	66.5	71.4	73.1	83.8	96.0	93.5	100.0	100.0	100.0	100.0	91.3	
	13	2.96	58.5	62.0	76.8	74.6	92.5	91.4	100.0	100.0	99.7	99.7	93.5	
	18	2.83	58.1	70.5	71.1	75.0	100.0	86.9	97.1	100.0	100.0	99.7	90.3	
	20	2.82	70.6	69.8	74.1	84.0	99.0	88.8	98.1	97.5	90.1	95.5	100.0	
	24	2.54	56.5	72.1	73.5	87.3	100.0	89.5	100.0	99.5	100.0	100.0		
	26	1.93	70.6	73.0	77.7	83.0	82.5	87.1	95.8	99.0				
	28	1.70	69.1	77.3	79.5	82.7	95.6	90.0	100.0	97.3				
	30	1.75	66.8	72.0	74.9	88.9	100.0	90.7	95.8	96.1				
	8.2	1.98	65.0	65.9	73.1	86.1	100.0	90.7	100.0	100.0				
	6	2.01	72.7	72.2	75.3	88.0	100.0	96.2	95.0	100.0				
	9	1.72	72.0	74.9	78.1	87.1	96.5	90.6	99.5	98.7				
	14	1.69	68.5	71.0	78.1	74.2	67.6	76.5	95.2	94.1				
	18	0.88	63.3	92.1	100.0	100.0	100.0							
	23	0.96	79.5	91.0	100.0	99.3	100.0							
	27	0.74	85.1	91.5	99.7	100.0								
	30	0.90	79.6	78.4	85.9	100.0	99.5							
	31	0.91	75.5	85.3	80.8	95.6	100.0							
	9.11	1.52	71.0	58.5	72.5	89.2	90.1	99.4	89.5					

表 5

定位点 项 目	层 次 (厘米)	0~20	20~40	40~60	60~80	80~ 100	100~ 130	130~ 160	160~ 190	190~ 220	220~ 250	250~ 280	280~ 310
		0~20	20~40	40~60	60~80	80~ 100	100~ 130	130~ 160	160~ 190	190~ 220	220~ 250	250~ 280	280~ 310
A_1	比 重	2.69	2.69	2.69	2.69	2.69	2.71	2.715	2.712	2.71			
	容 重	1.41	1.466	1.448	1.45	1.411	1.47	1.46	1.467	1.470			
	孔 隙 率	47.6	45.6	46.4	46.2	47.6	46.2	4.66	46.4	46.2			
A_3	比 重	2.69	2.69	2.69	2.69	2.69	2.69	2.69	2.69	2.69	2.69	2.69	2.69
	容 重	1.41	1.466	1.446	1.446	1.411	1.411	1.401	1.395	1.411	1.411	1.411	1.411
	孔 隙 率	47.6	45.7	46.2	46.2	47.5	47.5	48.0	48.2	47.5	47.5	47.5	47.5
A_4	比 重	2.69	2.69	2.69	2.69	2.69	2.69	2.70	2.705	2.69	2.69	2.69	2.71
	容 重	1.41	1.466	1.446	1.446	1.411	1.40	1.41	1.425	1.411	1.411	1.411	1.46
	孔 隙 率	47.6	45.6	46.4	46.4	47.5	48.1	48.8	47.3	47.5	47.5	47.5	46.1
B_2	比 重	2.69	2.69	2.69	2.69	2.70	2.69	2.70	2.70	2.71	2.71	2.71	2.71
	容 重	1.41	1.466	1.446	1.446	1.42	1.413	1.427	1.42	1.47	1.47	1.47	1.47
	孔 隙 率	47.6	45.5	46.4	46.4	47.4	47.4	47.2	47.4	46.0	46.0	46.0	46.0

从保証农作物正常生长的要求出发，不能允许地下水位一直上升到地表，故在生产实践中应该采用的土壤蓄水能力为 $I_{\pm} = 100(H - h)$ ，其中 h 为雨后允许的地下水位最小埋藏深度。

在有前期降雨条件下，土壤蓄水能力应当扣除前期降雨的影响。扣除部分等于田间拦蓄雨量与蒸发量的差值 ($I - E_{\text{陆}}$)。田间拦蓄雨量 $I = P - R$ ， P 为降雨量， R 为地面径流量。 $E_{\text{陆}}$ 可根据前述 $\frac{E_{\text{陆}}}{E_{\text{水}}} = f(H)$ 的关系进行计算； H 值取雨前雨后的平均值； $E_{\text{水}}$ 为同时期的水面蒸发量。则在有前期降雨条件下，实际采用的在土质较为均一的轻质土壤地区，土壤蓄水能力应为

$$I''_{\pm} = 100(H - h) - (I - E_{\text{陆}}) = 100(H - h) - (P - R - 1.32E_{\text{水}}H^{-1.27}),$$

如以某一时段计，一般可写成：

$$I''_{\pm} = 100(H - h) - \sum_{t_0}^{t_1} (P - R - 1.32E_{\text{水}}H^{-1.27}), \quad (2)$$

式中 H 及 h 以米计； I''_{\pm} 、 P 及 R 以毫米计。

二、小面积排水地区暴雨径流关系及最大排水模数的计算

(一) 资料及测区情况

资料来源系根据鲁西南太行堤流域，豫北南乐县永顺沟，豫北一个灌区，豫东淤泥河的殷公渠以及皖北青沟等地的观测成果。测定的条件是：

1) 上述地区均作了一定标准的排涝工程，排涝标准在较大面积上一般不到3年

一遇，小面积上大于3年一遇，高者达20年一遇以上，径流观测在工程开挖前无测定资料；

2) 大部分径流资料都是在日暴雨小于100毫米和降雨历时数小时内的情况下获得的，連續一日以上的降雨出現机会较少；汛期降雨在豫北一个灌区的几个站多集中在7、8月，皖北青沟分布在6~9月，测流时一般受排水頂托的情况不多，有些受頂托影响較大的資料予以舍棄；地面大面积积水現象不多；

3) 各站观测时间很短，且多不連續；曹县太行堤河三个站1962年开始观测；南乐永順沟1961年观测，1962年未进行；豫北的灌区1958年在棉田的小面积上作了几次测流；豫东殷公渠1962年开始观测，皖北青沟系1956年的資料；4) 土壤及水文地质情况在上述灌区基本相近，皖北青沟有一定的出入。现将各测区基本情况列于表6。

表 6
径流測驗站集水区的特征

流域名称	测 站	集水 面 积 (平 方 公 里)	地 形 坡 度	干 沟 平 均 比 降	干 沟 长 度 (公 里)	末 級 排 水 沟 間 距 (米)	流 域 特 点	测 流 方 法
太行堤河 (魯西南)	安仁集	185	1/6300左右	1/6300	19.0	—	流域呈葫芦形干沟排涝标准不到3年一遇，面上工程一般与干沟相适应，地面种旱作物	浮标法
	曹县城 北西試 区	10	1/7000左右	1/5000左右	7.0	400~700	流域呈长条形沟网密度較大，土方量5.53米 ³ /公里 ² ，种旱作物	流速仪法
	曹县城 北东試 区	0.531	1/5000左右	1/828	1.0	500	流域呈长方形，田間工程少，河网密度較大，种旱作物	浮标法
永順沟 (豫北)	韓张	78.7	1/5000~1/8000	1/5000~1/8000	12.0	2000左右	流域呈长条形，面上工程較少，种旱作物	浮标法
灌区东 一干渠 (豫北)	东一干 左側三 角地带 内	1.7	1/1000~1/5000	1/2000~1/3000	1.8	500	流域呈三角形，内部沟网較多，主要种植棉花	量水堰
淤泥河 (豫东)	殷公渠	10	1/6300	1/4000	7.3	末級排水 沟較少	流域呈长方形，内部沟网較少灌溉渠較多，种旱作物	流速仪
青 沟 (皖北)	东罗园	2.49	1/8500	—	4.1	—	流域呈长条形，种旱作物	流速仪
	潘庄	14.44	1/8500	1/3000	5.4	1000	流域接近方形，工程标准較大，种旱作物	流速仪
	小李家	19.2	1/8000	—	9.0	1000	流域呈长条形，种旱作物	流速仪
	小郭家	3.58	1/8500	—	3.9	—	流域呈长条形，种旱作物	流速仪